

## SSNA120 – Epreuve axisymétrique entaillée (AE) avec la loi CZM\_TRA\_MIX

---

### Résumé :

Ce test de mécanique statique non linéaire permet de s'assurer de la non régression d'une fonctionnalité de `Code_Aster` en mécanique de la rupture et de la comparer avec une approche locale (Rousselier). La fonctionnalité testée est la loi cohésive pour la rupture ductile : `CZM_TRA_MIX` [R7.02.11].

Une éprouvette axisymétrique entaillée est sollicitée en traction. L'évolution de la force et de la contraction diamétrale au cours de la propagation de la rupture ductile est calculée. La modélisation de l'éprouvette est réalisée avec des éléments 2D (`QUA8`).

## 1 Problème de référence

### 1.1 Géométrie et chargement

On considère une éprouvette axisymétrique entaillée de type *AE4*. La zone cohésive représentée par des éléments d'interface est positionnée sur la ligne *AB*.

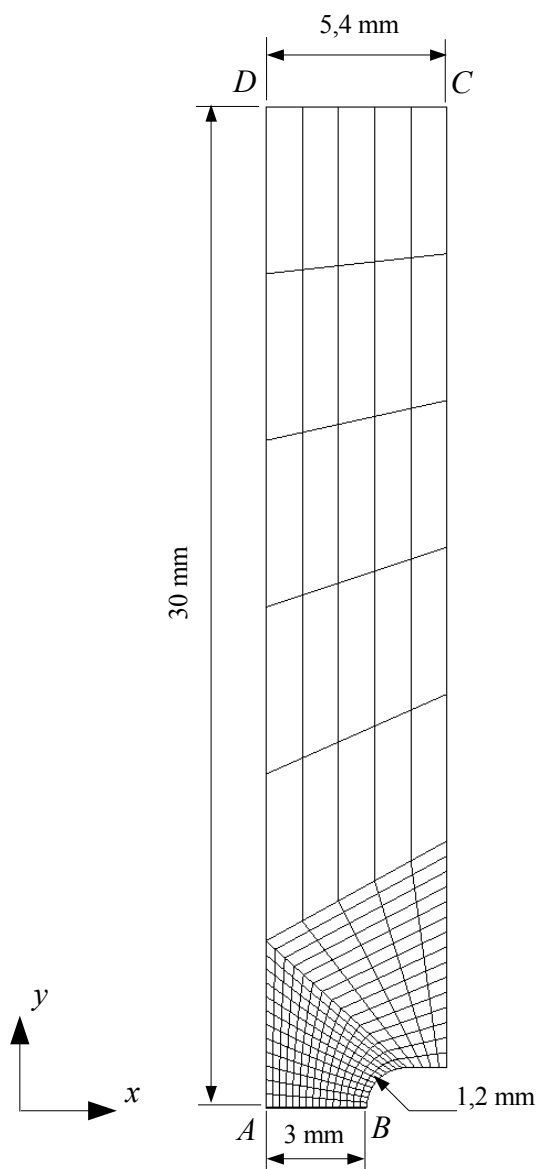
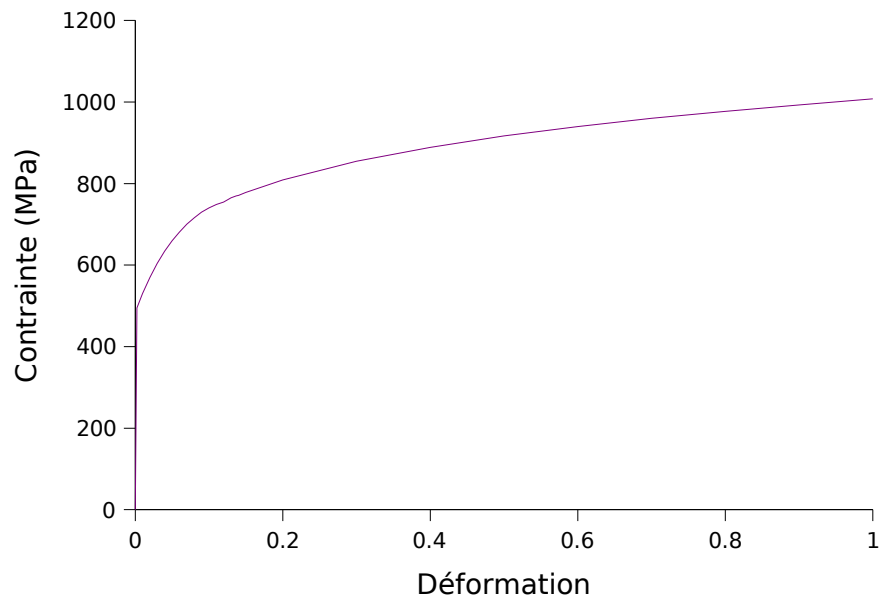


Figure 1 : Géométrie de l'éprouvette *AE4*.

### 1.2 Propriétés du matériau

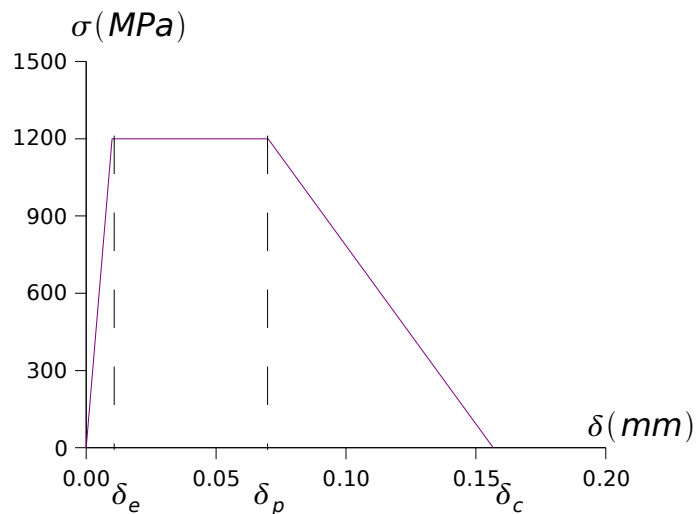
Pour décrire le comportement du matériau de l'éprouvette axisymétrique (matériau volumique), on utilise une loi de comportement élastoplastique avec un écrouissage isotrope (loi *VMIS\_ISOT\_TRAC*).

On prend :  $E=207 \text{ GPa}$  et  $\nu=0.3$  et la courbe d'écrouissage retenue est donnée ci-dessous :



**Figure 2** : Courbe d'érouissage isotrope du matériau volumique.

Pour les éléments d'interface les paramètres suivants sont utilisés dans la loi `CZM_TRA_MIX` :  
 $\sigma_c = 1200 \text{ MPa}$  ,  $G_c = 130 \text{ MPa}\cdot\text{mm}$  ,  $\delta_e = 0.01 \text{ mm}$  ,  $\delta_p = 0.07 \text{ mm}$  ,  $\delta_c = 0.157 \text{ mm}$  ,  
 La loi qui en découle est schématisée ci-dessous.



**Figure 3** : Loi de comportement des éléments d'interface.

NB : Seulement la moitié de la fissure est modélisée grâce à la symétrie du problème, la ténacité du matériau est de  $2G_c$  .

## 1.3 Conditions aux limites et chargement

En se reportant à la figure 1, les conditions aux limites sont les suivantes :

- déplacement en  $X$  bloqué sur la ligne  $AD$ ,
- déplacement imposé  $l$  suivant la direction  $Y$  sur la ligne  $DC$ .

L'évolution du déplacement  $l$  au cours du temps est donnée dans le tableau suivant :

Temps [s]	0	1
Déplacement $l$ [mm]	0	0,5

La zone cohésive est représentée par les éléments d'interface sur la ligne  $AB$ . La lèvre supérieure des éléments d'interface est appelée  $AB$  et la lèvre inférieure est appelée  $A'B'$ . Les conditions aux limites sur les éléments d'interface sont :

- déplacement en  $X$  imposé sur les lèvres  $AB$  et  $A'B'$  :  $DX_{AB} = DX_{A'B'}$
- déplacement en  $Y$  bloqué sur la ligne  $A'B'$ .

## 2 Solution de référence

---

### 2.1 Grandeurs et résultats de référence

Le déplacement du noeud  $B$  suivant  $X$  (DEPL) et la force appliquée sur l'éprouvette (REAC\_NODA) ont été calculés.

Une comparaison est effectuée avec deux calculs différents :

- une exécution antérieure de Code\_Aster avec la loi CZM\_TRA\_MIX, il s'agit d'un cas test de non-régression;
- une exécution antérieure de Code\_Aster où la rupture ductile est modélisée avec le modèle de Rousselier par la loi ROUSS\_PR.

Dans le cas de la modélisation avec le modèle de Rousselier, les paramètres retenus pour ce modèle sont les suivants:  $D=2$  ,  $SIGM_1=460$  et  $f0=0,0005$

## 3 Modélisation A

### 3.1 Caractéristiques de la modélisation

La modélisation de la rupture ductile est effectuée avec la modélisation `AXIS_INTERFACE` et la loi `CZM_TRA_MIX`. Les éléments de volume sont modélisés avec le modèle `AXIS`.

### 3.2 Caractéristiques du maillage

Le maillage d'entrée est linéaire. Il est transformé en un maillage quadratique par `LINE_QUAD` dans `CREA_MAILLAGE`.

Après la transformation ses caractéristiques sont les suivantes :

Nombre de nœuds : 962

Nombre d'éléments: 280 `QUAD8`.

Nombre d'éléments d'interface : 15 `QUAD8`.

### 3.3 Grandeurs testées et résultats

**Test de non régression** : contraction diamétrale ( $-2 \times DX$  du point  $B$ ), force de traction (la résultante  $DY$  de `REAC_NODA` sur  $CD$  multipliée par  $2\pi$ ) en fonction du déplacement de traction  $DY$  (sur  $CD$ ).

Pour un déplacement de  $0,3\text{ mm}$  selon  $Y$  sur  $CD$

Grandeur testée	Code_Aster	Tolérance (%)
Contraction ( mm )	0.605676	0.10
Force ( kN )	28.8696	0.10

Pour un déplacement de  $0,4\text{ mm}$  selon  $Y$  sur  $CD$

Grandeur testée	Code_Aster	Tolérance (%)
Contraction ( mm )	0.931629	0.10
Force ( kN )	23.6023	0.10

**Test de non régression sur le calcul effectué avec le modèle de Rousselier** : contraction diamétrale ( $-2 \times DX$  du point  $B$ ), force de traction (la résultante  $DY$  de `REAC_NODA` sur  $CD$  multipliée par  $2\pi$ ) en fonction du déplacement de traction ( $DY$  sur  $CD$ ).

Pour un déplacement de  $0,2\text{ mm}$  selon  $Y$  sur  $CD$

Grandeur testée	Code_Aster	Rousselier	Erreur (%)
Contraction ( mm )	0.333202	0.349885	4.8
Force ( kN )	29.3851	29.3597	0.087

Pour un déplacement de  $0,3\text{ mm}$  selon  $Y$  sur  $CD$

Grandeur testée	Code_Aster	Rousselier	Erreur (%)
Contraction ( mm )	0.605676	0.620591	2.4
Force ( kN )	28.8696	28.6069	0.92

Pour un déplacement de  $0,4\text{ mm}$  selon  $Y$  sur  $CD$

Grandeur testée	Code_Aster	Rousselier	Erreur (%)
Contraction ( mm )	0.931629	0.954683	2.4

---

Force ( <i>kN</i> )	23.5744	22.6731	04/01/00
---------------------	---------	---------	----------

---

## **4 Synthèse des résultats**

Des valeurs de non régression sont testées ainsi que des tests de comparaison avec le modèle de Rousselier.